

# 恒星熱対流の臨界状態と 平均流生成について

竹広 真一

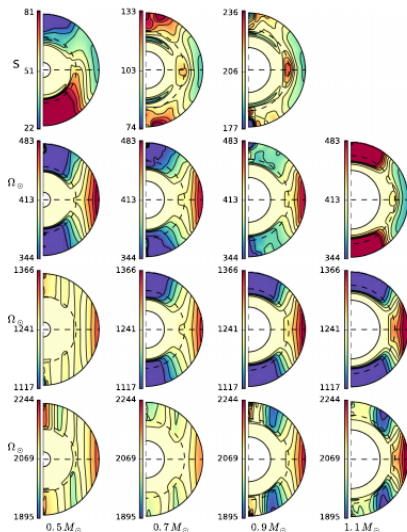
2020 年 10 月 13 日

第 1 回 GFD オンラインセミナー

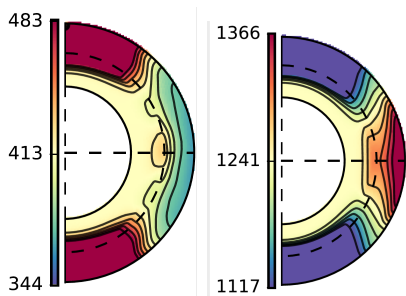
共同研究者：Allan Sacha Brun, 山田 道夫

# はじめに

- さまざまな太陽型恒星の熱対流と差分回転の系統的なパラメータ研究 (Brun et al. 2017)
- 恒星対流モデル (非弾性回転球殻熱対流 +  $\alpha$ ) の有限振幅時間積分
- 反太陽型の差分回転の発見 (anti-solar differential rotation)



# はじめに

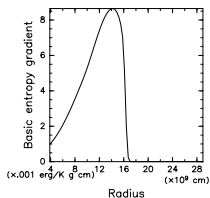
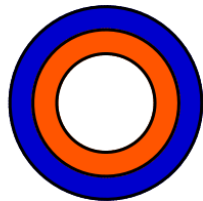


反太陽型 (左) と太陽型 (右) の比較 (Brun et al. 2017)

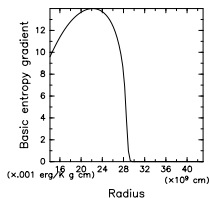
- 臨界レイリー数と臨界対流構造, 超臨界度?
- 臨界状態近くでの平均帯状流は赤道逆行流となりうるか?
- 平均帯状流の生成維持メカニズムは?

# 恒星モデル

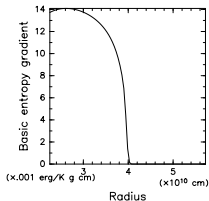
# 恒星モデル



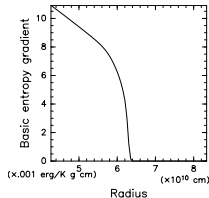
M05R1



M07R1



M09R1



M11R1

恒星モデルの基本場エントロピー動径傾度分布.

- 上層：対流層 (不安定/中立成層)
- 下層：放射層 (安定成層)

# 支配方程式：非弾性方程式系

$$\nabla \cdot (\bar{\rho} \mathbf{u}) = 0, \quad (1)$$

$$\frac{\partial \mathbf{u}}{\partial t} - \mathbf{u} \times \boldsymbol{\omega} + 2\Omega \mathbf{k} \times \mathbf{u} = -\nabla \Pi + \frac{S}{C_p} \mathbf{g}(r) + \frac{1}{\bar{\rho}} \mathbf{F}_\nu, \quad (2)$$

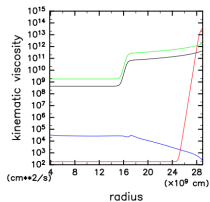
$$\Pi = \frac{p}{\bar{\rho}} + \frac{1}{2} |\mathbf{u}|^2, \quad (\mathbf{F}_\nu)_i = \frac{\partial}{\partial x_j} \left\{ \bar{\rho} \nu \left( \frac{\partial u_i}{\partial x_j} + \frac{\partial u_j}{\partial x_i} - \frac{2}{3} \delta_{ij} \frac{\partial u_k}{\partial x_k} \right) \right\},$$
$$\bar{\rho} \bar{T} \left[ \frac{\partial S}{\partial t} + (\mathbf{u} \cdot \nabla)(\bar{S} + S) \right]$$
$$= \nabla \cdot [\kappa_{rad} \bar{\rho} C_p \nabla(\bar{T} + T) + \kappa \bar{\rho} \bar{T} \nabla S + \kappa_0 \bar{\rho} \bar{T} \nabla \bar{S}] + \bar{\rho} \epsilon + Q_\nu, \quad (3)$$
$$Q_\nu = \frac{\bar{\rho} \nu}{2} \left( \frac{\partial u_i}{\partial x_j} + \frac{\partial u_j}{\partial x_i} - \frac{2}{3} \delta_{ij} \frac{\partial u_k}{\partial x_k} \right)^2.$$

- 恒星の対流状態を模するようチューニングした粘性拡散係数の動径分布
  - 粘性拡散  $\nu(r)$
  - エントロピー拡散  $\kappa(r)$  (水平非一様成分,  $n \neq 0$ )
  - エントロピー拡散  $(\kappa_0(r))$  (水平一様成分,  $n = 0$ )
  - 温度拡散  $\kappa_{rad}(r)$  (放射過程)

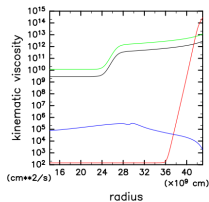
# 支配方程式：境界条件

- 流れ場：球殻上下端で応力なし条件
- エネルギー：エントロピー傾度が一定

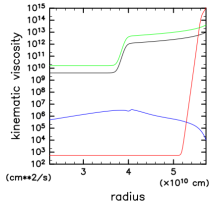
# 恒星モデルの物性分布



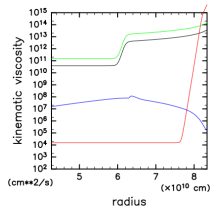
M05R1



M07R1



M09R1



M11R1

恒星モデルの粘性拡散係数  $\nu$  (黒),  $\kappa$  (緑),  $\kappa_0$  (赤),  $\kappa_{rad}$  (青) の動径分布.



# 臨界対流計算

# 線形安定性

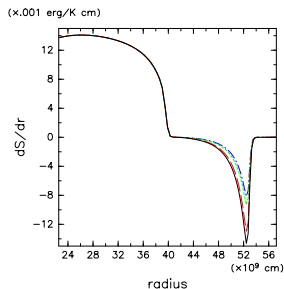
- 有次元のシステムで安定性を計算
  - 普通はシステムを規格化して無次元パラメーター空間を調査
  - 規格化が面倒, 定式化やプログラムを間違えそう
- 手順
  - 擾乱が  $\exp(\sigma t)$  に比例と仮定  
 $\sigma = \sigma_r + i\sigma_i$  は複素成長率
  - 擾乱に対する粘性・拡散係数の振幅を大きくする. 分布は元のと相似.
  - 背景場への拡散係数はそのまま.
  - エクマン数を定数とすべく, 自転角速度も増加させる

$$\kappa = \kappa^* f, \quad \kappa_0 = \kappa_0^* f, \quad \kappa_{rad} = \kappa_{rad}^* f, \quad \nu = \nu^* f, \quad \Omega = \Omega^* f,$$

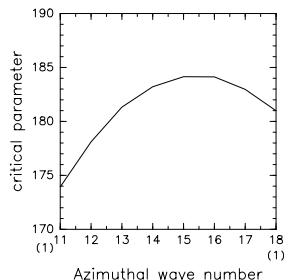
$f$  は係数の増幅率,  $*$  はモデルオリジナルの値

# 基本場

- 拡散係数の増幅係数  $f$  に応じて拡散解 (静止状態) を計算
- ある東西波数  $m$  の擾乱に関する線形化方程式の固有値問題を解いて, 成長率  $\sigma = \sigma_r + i\sigma_i$  を計算
- $f$  を動かし, 中立  $\sigma_r = 0$  を探す
- 東西波数  $m$  を変えて最大の  $f$  を探し臨界状態を定める.



M09 シリーズの拡散解



M11R1 の中立曲線

- 無次元数 (レイリー数  $Ra$ , エクマン数  $Ek$ ) の評価法

$$Ra = \frac{g^{(c)}}{C_p} \frac{|dS^{(p)}/dr| L^4}{\kappa^{(c)} \nu^{(c)}}, \quad Ek = \frac{\nu^{(c)}}{\Omega L^2}.$$

- $(c)$  : 対流層の中間層での値
- $(p)$  : 分布のピークでの値
- $L$  : 対流層の厚さ
- プラントル数は  $Pr = \nu/\kappa = 0.25$  でどこでも一定.

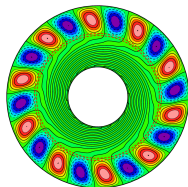
# 線形擾乱方程式

- 線形擾乱方程式

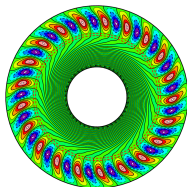
$$\begin{aligned}\nabla \cdot (\bar{\rho} \mathbf{u}') &= 0, \\ \frac{\partial \mathbf{u}'}{\partial t} + 2\Omega \mathbf{k} \times \mathbf{u}' &= -\nabla \left( \frac{p'}{\bar{\rho}} \right) + \frac{S'}{C_p} \mathbf{g}(r) + \frac{1}{\bar{\rho}} \mathbf{F}'_{\nu}, \\ (\mathbf{F}'_{\nu})_i &= \frac{\partial}{\partial x_j} \left\{ \bar{\rho} \nu \left( \frac{\partial u'_i}{\partial x_j} + \frac{\partial u'_j}{\partial x_i} - \frac{2}{3} \delta_{ij} \frac{\partial u'_k}{\partial x_k} \right) \right\}, \\ \bar{\rho} \bar{T} \left[ \frac{\partial S'}{\partial t} + u'_r \frac{d}{dr} (\bar{S} + S_0) \right] &= \nabla \cdot [\kappa_{rad} \bar{\rho} C_p \nabla T' + \kappa \bar{\rho} \bar{T} \nabla S'].\end{aligned}$$

- 速度場をトロイダル・ポロイダルポテンシャルで表現
- スペクトル法：球面調和関数 + チェビシエフ多項式
- 解像度
  - 各方位角波数  $m$  について全波数  $m$  次から  $m + 30$  次まで計算
  - 動径 128 点, チェビシエフ多項式 128 次まで計算
- LAPACK ルーチンを使って固有値解析

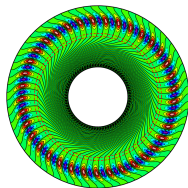
# 臨界対流 (動径速度)



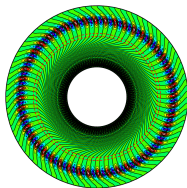
M07S



M07R1



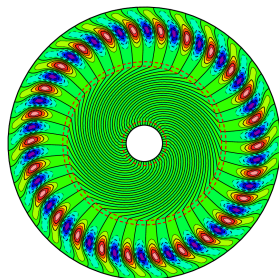
M07R3



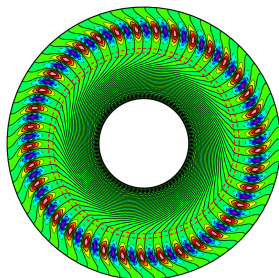
M07R5

- M07 シリーズの動径速度の赤道断面分布
- 対流が球殻上層で発生
- 下層の螺旋状構造は上層の対流により駆動されている内部重力波

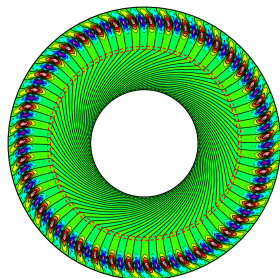
# 臨界対流 (動径速度)



M05R1



M07R3

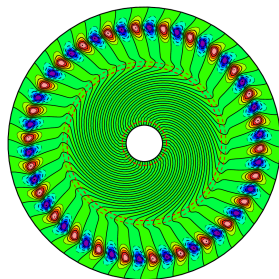


M09R5

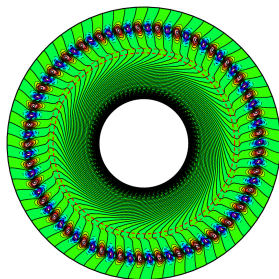
- エクマン数が  $3 \times 10^{-4}$  あたりの動径速度分布
- 背景場密度コントラスト  $N_{\rho}^{cz}$  は 3.7 から 4.2 まで, 対流層の縦横比  $\beta^{cz} = r_t/r_o$  は 0.59 から 0.71 まで変化.



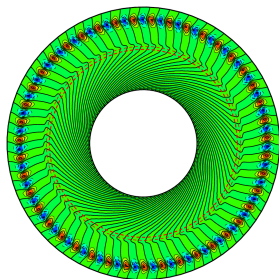
# 臨界対流 (エントロピー擾乱)



M05R1



M07R3



M09R5

- エクマン数が  $3 \times 10^{-4}$  あたりのエントロピー擾乱分布
- 上層での位相線の傾きが異なる
  - 対流構造は回転順方向に伝播
  - 対流パターンに伴うエントロピーの拡散による構造：対流中心から動径内外両方向に同じ時間遅れで伝わる。

# モデルパラメーター

- 非線形計算 (Brun et al. 2017) のモデルパラメーター

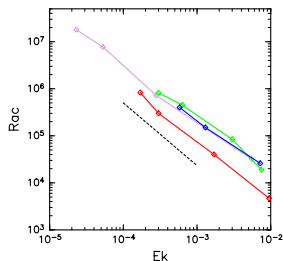
	$L$	$g^{(c)}$	$dS^{*(p)}/dr$	$\kappa^{*(c)}$	$\nu^{*(c)}$	$\Omega^*$	$Ra^*$	$Ek^*$
M05S	1.3e10	1.1e5	1.1e-7	1.2e12	3e11	3.25e-7	2.7e6	5.5e-3
M05R1			1.1e-7	5e11	1.25e11	2.6e-6	1.6e7	2.8e-4
M05R3			2e-7	2.8e11	7e10	7.8e-6	9.2e7	5.3e-5
M05R5			3.1e-7	2e11	5e10	1.3e-5	2.8e8	2.3e-5
M07S	1.3e10	6.5e4	3.5e-7	5e12	1.25e12	7.8e-7	3e5	9.5e-3
M07R1			3.5e-7	3e12	7.5e11	2.6e-6	8.3e5	1.7e-3
M07R3			4.5e-7	1.6e12	4e11	7.8e-6	3.7e6	3e-4
M07R5			4.5e-7	1.5e12	3.75e11	1.3e-5	4.2e6	1.7e-4
M09S	1.6e10	5e4	4e-6	1e13	2.5e12	1.3e-6	1.5e6	7.5e-3
M09R1			4e-6	8e12	2e12	2.6e-6	2.3e6	3e-3
M09R3			3.2e-6	5e12	1.25e12	7.8e-6	4.8e6	6.3e-4
M09R5			3.2e-6	4e12	1e12	1.3e-5	7.5e6	3e-4
M11R1	2e10	2.8e4	3e-5	3e13	7.5e12	2.6e-6	1.7e6	7.2e-3
M11R3			2.1e-5	1.6e13	4e12	7.8e-6	4.2e6	1.3e-3
M11R5			2.1e-5	1.2e13	3e12	1.3e-5	7.5e6	5.8e-4

# 臨界パラメター

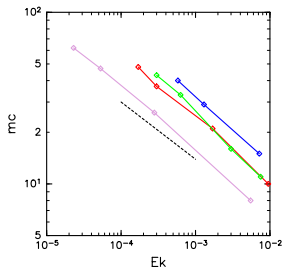
## ● 臨界パラメター

	$m_c$	$\omega_c$	$f$	$dS^{(p)}/dr$	$\kappa^{(c)}$	$\nu^{(c)}$	$Ra_c$	$Ra^*/Ra_c$
M05S	8	2.7e-4	1371	1.75e-3	1.4e15	3.5e14	3.2e4	84
M05R1	26	6e-4	753	3.2e-3	4e14	1e14	7.2e5	22
M05R3	47	8.6e-4	558	4.2e-3	1.4e14	3.5e13	7.7e6	12
M05R5	62	1.0e-3	482	5e-3	1e14	2.5e13	1.8e7	16
M07S	10	2.3e-4	495	2e-3	3e15	7.5e14	4.7e3	64
M07R1	21	3.8e-4	372	2.7e-3	1.2e15	3e14	4e4	21
M07R3	37	5.8e-4	284	3.5e-3	5e14	1.25e14	3e5	12
M07R5	48	6.8e-4	247	4e-3	3.2e14	8e13	8.3e5	5.1
M09S	11	3e-4	366	8e-3	4e15	1e15	1.9e4	79
M09R1	16	5.1e-4	321	9e-3	2e15	5e14	8.4e4	27
M09R3	33	7e-4	230	1.2e-2	1e15	2.5e14	4.5e5	11
M09R5	43	8.7e-4	204	1.4e-2	8e14	2e14	8.2e5	9.1
M11R1	15	3e-4	184	1.3e-2	5e15	1.25e15	2.6e4	65
M11R3	29	5.8e-4	141	1.7e-2	2.4e15	6e14	1.5e5	28
M11R5	40	6.5e-4	122	2e-2	1.6e15	4e14	4e5	19

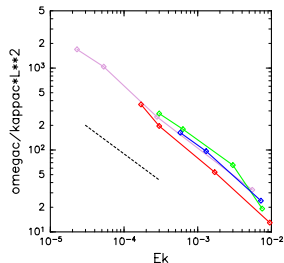
# 臨界パラメター



レイリー数  
 $Ra_c \sim Ek^{-4/3}$



方位角波数  
 $mc \sim Ek^{-1/3}$



振動数  
 $\omega_c \sim Ek^{-2/3}$

- 臨界パラメターとエクマン数の関係  
円筒モデルによる古典的な漸近解析のスケージングに従っている  
⇐ 対流構造が動径方向に局所的だから

# 弱非線形計算 ～ 平均帶狀流

# 弱非線形解析

- 模式的な支配方程式：

$$\frac{\partial \mathbf{x}}{\partial t} = L\mathbf{x} + N[\mathbf{x}],$$

$L\mathbf{x}$ ,  $N[\mathbf{x}]$  はそれぞれ線形および非線形項

- 臨界状態  $\mathbf{x}_c$  は  $\sigma\mathbf{x}_c = L\mathbf{x}_c$  から定まる.
- 弱非線形解析は

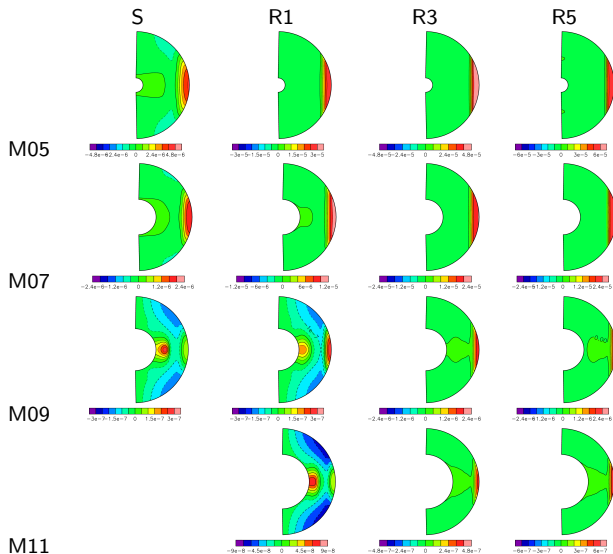
$$0 = L\mathbf{x}_2 + N[\mathbf{x}_c]$$

を解いて、臨界対流により励起される平均帯状状態  $\mathbf{x}_2$  を求める.

- 2 次の平均帯状流方程式

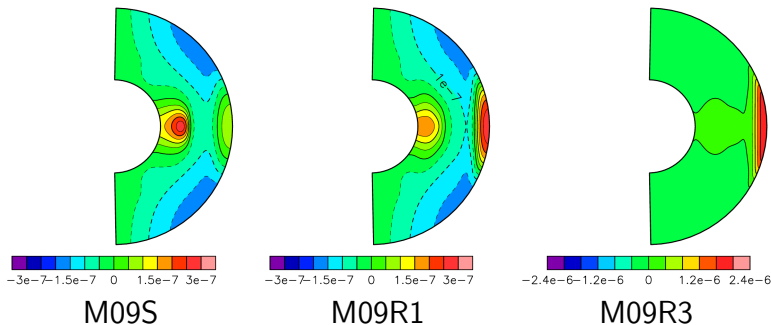
$$\begin{aligned}\nabla \cdot (\bar{\rho} \overline{\mathbf{u}^{(2)}}) &= 0, \\ -2\Omega \mathbf{k} \times \overline{\mathbf{u}^{(2)}} - \nabla \left( \frac{\overline{p^{(2)}}}{\bar{\rho}} \right) + \frac{\overline{S^{(2)}}}{C_p} \mathbf{g}(r) + \frac{1}{\bar{\rho}} \overline{\mathbf{F}_\nu^{(2)}} \\ &= -\overline{\mathbf{u}' \times \boldsymbol{\omega}'} + \nabla \left( \frac{1}{2} \overline{|\mathbf{u}'|^2} \right), \\ -\bar{\rho} \overline{T} (\overline{\mathbf{u}^{(2)}} \cdot \nabla) (\bar{S} + S_0) + \nabla \cdot [\kappa_{rad} \bar{\rho} C_p \nabla \overline{T^{(2)}} + \kappa \bar{\rho} \overline{T} \nabla \overline{S^{(2)}}] \\ &= \bar{\rho} \overline{T} (\overline{\mathbf{u}' \cdot \nabla}) \bar{S}' - \overline{Q'_\nu},\end{aligned}$$

# 平均带状流一覽



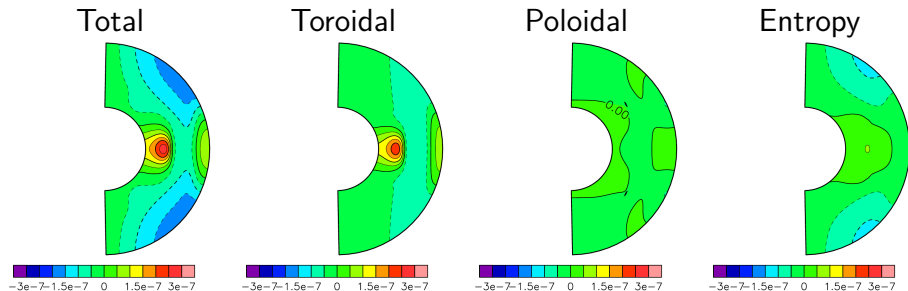


# 平均帯状流



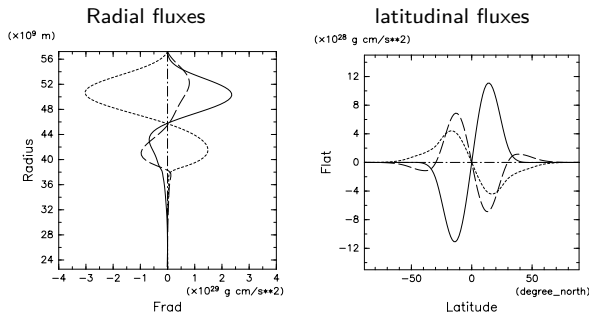
- すべての場合で赤道表面で回転順行流
- 自転が遅い場合には放射層でも帯状流が生成される

# 平均帯状流 (M09S, 各非線型効果ごと)



- 臨界対流の各非線形効果が引き起こす平均帯状流 (M09S)
- 帯状流流はトロイダルポテンシャル方程式の非線形項により生成  $\Rightarrow$  レイノルズ応力による直接加速

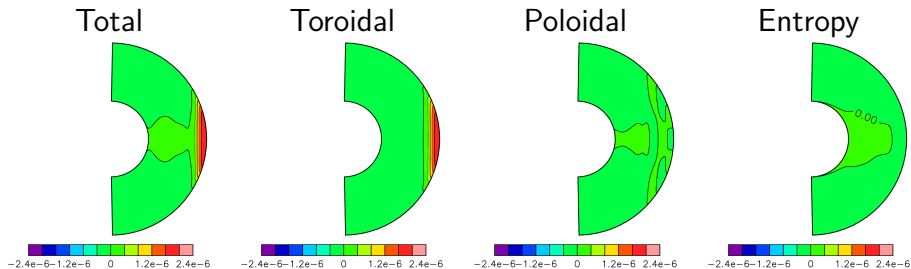
# 角運動量フラックス (M09S)



M09S での弱非線形解の角運動量フラックス. 実線, 破線, 点線はそれぞれレイノルズ応力, 平均子午面循環, 粘性による角運動量フラックス. Solid, broken, dotted indicate 一点破線は全角運動量フラックス.

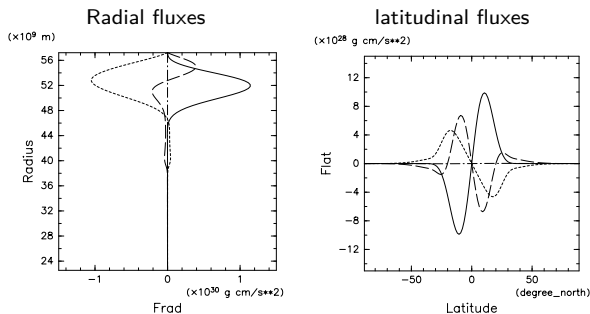
- 放射層はレイノルズ応力により加速  
⇐ (おそらく) 内部重力波による角運動量輸送

# 平均帯状流 (M09R3, 各非線型効果ごと)



- 臨界対流の各非線形効果が引き起こす平均帯状流 (M09R3)
- 帯状流流はトロイダルポテンシャル方程式の非線形項により生成  $\Rightarrow$  レイノルズ応力による直接加速

# 角運動量フラックス (M09R3)



M09R3 での弱非線形解の角運動量フラックス. 実線, 破線, 点線はそれぞれレイノルズ応力, 平均子午面循環, 粘性による角運動量フラックス. Solid, broken, dotted indicate 一点破線は全角運動量フラックス.

- 放射層の角運動量フラックスはない.

# まとめ

# まとめ

- 恒星モデルの臨界状態と臨界パラメータを求めることができた
- 非線形計算 (Brun et al. 2017) の超臨界度を評価できた.
- 臨界対流により引き起こされる平均帯状流は, 赤道表面においてどの場合も回転順方向であった.
- いくつかの回転が遅い場合において, 放射層で平均帯状流が励起された.

- Brun, A. S., Strugarek, A., Varela, J., Matt, S. P., Augustson, K. C., Emeriau, C., DoCao, O. L., Brown, B., Toomre, J., 2017 : On Differential Rotation and Overshooting in Solar-like Stars. *Astrophys. J.*, 836, 192(28pp).
- Takehiro, S., Brun, A. S., Yamada, M., 2020 : Assessment of Critical Convection and Associated Rotation States in Models of Sun-like Stars Including a Stable Layer. *Astrophys. J.*, 893, 83 (15pp).



# 補遺

# 内部重力波

- Dispersion relation of internal gravity waves:

$$\omega^2 = \frac{N^2 k_H^2}{K^2}, \quad K^2 = k_H^2 + k_r^2$$

$\omega$  : frequency,  $N$  : Brunt Vaisala frequency,  $K, k_H, k_r$  : total, horizontal and radial wavenumbers.

- Group velocity in the radial direction:

$$C_{gr} \equiv \frac{\partial \omega}{\partial k_r} = -\frac{N k_H}{K^{3/2}} k_r = -\frac{\omega k_r}{K^2}.$$

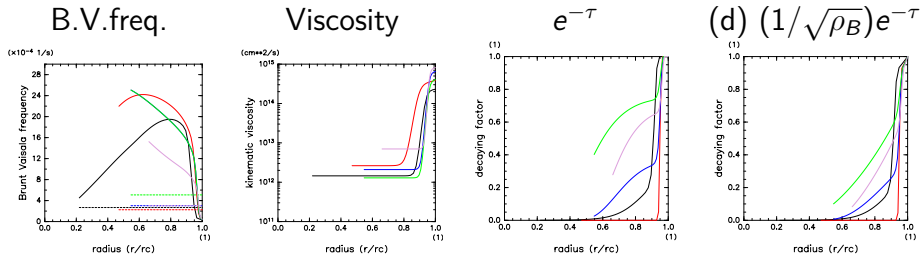
- Assume that the waves follow the following eq.

$$C_{gr} \frac{\partial \phi}{\partial r} = \nu \nabla^2 \phi \sim -\nu K^2 \phi,$$

the solution is expressed as

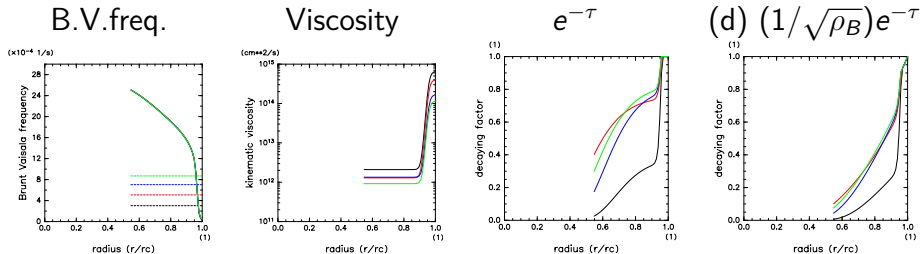
$$\phi \sim e^{-\tau}, \quad \tau = \int_{r_c}^r \frac{\nu K^2}{C_{gr}} dr,$$

# 内部重力波



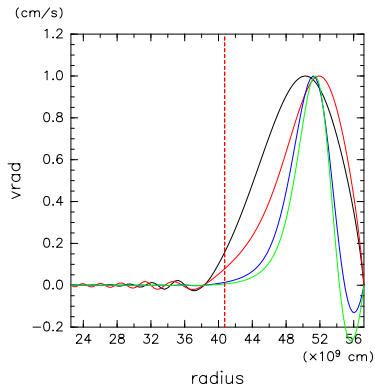
Black, red, blue, green, magenta indicate the cases of M05S, M07S, M09S, M09R1 and M11R1, respectively.

# 内部重力波



Black, red, blue, green indicate the cases of M09S, M09R1, M09R3 and M09R5, respectively.

# 内部重力波



Structure of Critical convection for M09 series.